

# I-133 変断面格子げたの極限強度について

名古屋大学 正員 福本 晴士  
 立命館大学 正員 伊藤 満  
 立命館大学 学生員 原口 俊男

## 〔1〕はじめに

本研究は、荷重の初動性を考慮した単純直交格子げたの最小重量塑性設計を行ない、そして、変断面設計されたけた断面の圧延H形鋼から製作加工し、その極限強度および崩壊性状について比較検討したものである。

本研究に用いたものは主げた1横げたの単純格子げたの極限強度に与える影響として、(1) 主げたと横げたの全塑性モーメントの比。(2) 中けたと端げたの全塑性モーメントの比。(3) 主げた支間と主げた間隔の比。

(4) 荷重の載荷位置。(5) 全塑性モーメントに与えるせん断力の大きさ。その他、材料特性として、(6) ひずみ硬化による全塑性モーメントの増加率。(7) 圧延による残留応力の大きさ。などがあげられる。本実験では、I型断面の格子げたを研究の対象としているため、主げたおよび横げたのねじり剛性は無視している。上記のような項目を本実験の研究対象としている。また、同一崩壊荷重で崩壊する等断面格子げたと製作し変断面格子げたとの極限強度および崩壊性状について比較検討を加え変断面格子げたの極限強度に関する一資料とした。

## 〔2〕抵抗塑性モーメント

通常、けた上と荷重が移動する場合、その初動荷重が、けた上のどの位置にきても、崩壊機構を満たすのに十分な数の塑性ヒンジを形成し、しかも崩壊荷重が同一であるような断面形を決めれば、そのけた断面は、理想的な最小重量となる。この考えのもとで、1個の初動集中荷重が、3主げた1横げたをもつ対称な直交単純格子げた(横げたの位置は、主けた支間の中央)に作用する場合の最小必要抵抗塑性モーメント $M_p(x)$ を各けたについて、それぞれ求めると次のようになる。

中けた	$M_p(x) = \left[ \frac{1}{2} - \left(\frac{x}{L}\right) + \frac{1}{2}\left(\frac{x}{L}\right) \right] (\frac{x}{L}) PL$ ----- $0 \leq x \leq g_1$
	$M_p(x) = \left[ \frac{1}{2} - \frac{1}{2}\left(\frac{x}{L}\right) \right] (\frac{x}{L}) PL$ ----- $g_1 < x \leq \frac{L}{2}$
端けた	$M_p(x) = \left[ \frac{3}{4} - \left(\frac{x}{L}\right) + \frac{1}{4}\left(\frac{x}{L}\right) \right] (\frac{x}{L}) PL$ ----- $0 \leq x \leq \frac{L}{2}$
横けた	$M_p(x) = \left[ \frac{1}{2} - \frac{1}{2}\left(\frac{x}{L}\right) \right] (\frac{x}{L}) PL$ ----- $0 \leq x \leq a$

ここに、 $P$ は、初動集中荷重。 $L$ は、主けたの支間長。 $a$ は、主けた間隔。 $g_1$ は、荷重の初動性を考えているため、正の曲げモーメントから負の曲げモーメントに変化する断面位置を示している。この値は、格子げたの全重量を最小にするという条件から、 $g_1 = a/\sqrt{2}$ が得られる。

## 〔3〕実験内容

試験けたは、市販されている圧延H形鋼(SS 41)より3本の主げたと1本の横げたを有する変断面格子げた(端けた: H-200×200×8×12, 中けた: H-244×175×7×11, 横けた: H-150×150×7×10)を2本(端けた載荷用試験けた1本, 中けた載荷用試験けた1本), および等断面格子げた(端けた: H-244×175×7×11, 中けた: H-200×200×8×12, 横けた: H-125×125×6×9)を2本(端けた載荷用

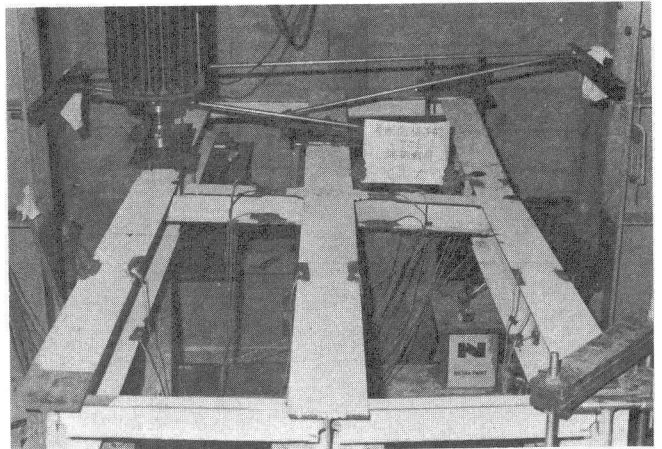


図-1

試験けた1本, 中けた載荷用試験けた1本)とそれぞれ製作した。支間長および主けた間隔は, 変断面, 等断面ともに  $L=3.5m$ ,  $a=0.7m$  )である。断面形状は, 変断面格子けた, 等断面格子けたともに, 同一崩壊荷重で崩壊するよう断面寸法を選んだ。また, 試験けたは, 塑性ヒンジの形成を容易にするために, 塑性ヒンジ発生部の断面のみを計算で必要とする断面寸法とし, 他の断面は, 理想変断面に因づけられた断面となっている。おなわち, 崩壊機構を形成するには必要は塑性ヒンジの箇所だけに圧延ハル鋼フランジ部が所厚寸法に切断加工されている。荷重の載荷位置は, 端けた載荷用試験けたでは, 変断面格子けた, 等断面格子けたともに, 支間から  $1.5/5m$  の位置とし, 中けた載荷用試験けたは, 変断面けたの場合, 支間から  $0.7m$  の位置に, 等断面けたの場合, 支間から  $1.28/5m$  の位置にそれぞれ載荷して実験を行なった。実験は, 中けた載荷用試験けたでは, 1回の崩壊試験を行ない, 端けた載荷用試験けたでは, 右側端けたと, 左側端けたに, それぞれ別々に載荷し, 同一供試体について2回の崩壊試験を行なった。これは, 右側端けたは, 極けたとの連結をフランジ部とウレシ溶接をほどこした剛性構造とし, また, 左側端けたでは, その連結をメタルタッチとし, 端けたに對しねじり抵抗を乏しいような構造とし, 極けたの連結に對するねじりの影響を実験的に調べたものである。

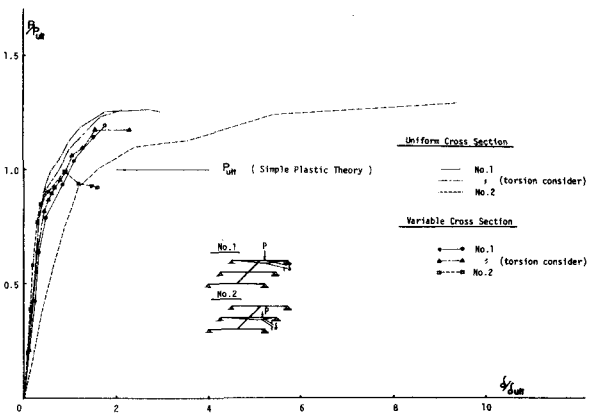


図 - 2

格子けたともに, 支間から  $1.5/5m$  の位置とし, 中けた載荷用試験けたは, 変断面けたの場合, 支間から  $0.7m$  の位置に, 等断面けたの場合, 支間から  $1.28/5m$  の位置にそれぞれ載荷して実験を行なった。実験は, 中けた載荷用試験けたでは, 1回の崩壊試験を行ない, 端けた載荷用試験けたでは, 右側端けたと, 左側端けたに, それぞれ別々に載荷し, 同一供試体について2回の崩壊試験を行なった。これは, 右側端けたは, 極けたとの連結をフランジ部とウレシ溶接をほどこした剛性構造とし, また, 左側端けたでは, その連結をメタルタッチとし, 端けたに對しねじり抵抗を乏しいような構造とし, 極けたの連結に對するねじりの影響を実験的に調べたものである。

〔7〕実験結果と考察

図-2に, 変断面および等断面格子けたの荷重-変形図を示す。図は, 縦軸に, 荷重強度  $P$  を単純塑性解析より得られた極限強度値  $P_u$  で無次元化した量ととり, 横軸には, 実験による荷重載荷変下のたわみ量  $\delta$  を計算による極限時におけるたわみ量  $\delta_u$  で無次元化した量を示している。図中, 1.0 は, 計算による極限強度を示してあり, 各試験けたとも, この値を目標に設計され, 崩壊実験が行なわれたことを示している。図から, 各試験けたともに当初目標とした最高荷重  $P_u$  より大きな耐力を示している。これは, 荷重の載荷英で先ず, 才1塑性ヒンジが形成され, 次の才2ヒンジは極けた中央付近に形成されるが, 才2ヒンジが形成される項には, 才1塑性ヒンジ部の断面が, 除々にひずみ硬化に入っているため, 単純塑性解析値より幾分, 大きな値となっているものである。変断面格子けたの中けた載荷の場合の実験値は, 最高荷重近くになって断面の小さな塑性ヒンジ部(中けた)で横倒れを起したために, 他の実験値より低い傾向にある。

〔5〕おとがき

変断面格子けたの崩壊試験を行ない変断面, 等断面2種類の格子けたを圧延ハル鋼から製作し, それぞれの極限強度について調べた。本実験の特徴である切欠断面部が極限強度に与える影響については検討中である。

本実験を行なうにあたり, 実験用供試体, 実験用載荷フレームの製作加工は, 高田棧工(株)の方々のお世話になり, 並々たうぬ援助を得た。ここに厚くお礼申し上げます。また, 実験にあたり, 昭和78年度卒業生(立命館)の格子けた班の諸君には, 多大の協力を得た。

参考文献

(1) 成岡, 丈村, 伊藤: 格子桁の実験的研究, 新三菱重工業(株)技報 昭和30年1月。  
 (2) 木沢: 格子桁構造の極限荷重および最小重量設計に関する一研究, 土木学会論文集67号, 昭和35年3月。  
 (3) 星, 貝嶋, 横田: 格子桁の崩壊荷重に対する実験的追跡について, 才24回土木学会概要集, 昭和47年9月。